

# بیوسنسور حساس DNA تولید شده با نانوذرات طلا/پلی(پی-آمینو بنزوئیک

## اسید)/ الکترود اصلاح شده با نانولوله های کربنی

چکیده

در این مطالعه، ما اقدام به تولید بیوسنسور دی ان ای الکتروشیمیایی حساس برای تشخیص دی ان ای هدف کردیم. اسید آمینو بنزوئیک بر روی سطح الکترود کربن شیشه ای اصلاح شده با نانولوله های کربن چند دیواره با گروه های اپوکسی توسط ولتامتری سیکلیک، تحت الکتروپلیمریزاسیون قرار گرفت. نانوذرات طلا به درون سطح فیلم کامپوزیت PABA-MWNT با حالت رسوب الکتروشیمیایی قرار گرفت. دی ان ای پروب بر روی سطح AuNP از طریق پیوند Au-S ثابت شد. میکروسکوپ الکترونی نگاره، ولتامتری سیکلیک و طیف های امپدانس الکتروشیمیایی برای بررسی فرایند مونتاز فیلم استفاده شد. ولتامتری پالس دیتفرانسیل برای پایش رویداد هیبریداسیون دی ان ای با اندازه گیری ادريامیسین استفاده شد. تحت شرایط بهینه، افزایش جریان پیک ادريامیسین با لگاریتم غلظت الیگو نوکلوتئید مکمل از  $1.0 \times 10^{-12}$  تا  $5.0 \times 10^{-9}$  M با حد تشخیص  $3.5 \times 10^{-13}$  مول، به صورت خطی بود. این بیوسنسور دی ان ای، دارای قابلیت و صحت خوبی است.

لغات کلیدی: بیوسنسور دی ان ای، نانولوله های کربن چند دیواره، نانوذرات طلا، الکتروپلیمریزاسیون، رسوب الکتروشیمیایی

### ۱- مقدمه

تشخیص ویژه توالی اهداف اسید نوکلئیک در تشخیص بیماری، فیلتر دارویی، پیش گیری از بیماری و حفاظت زیست محیطی اهمیتی روز افزون دارد (1.2). روش های مختلفی برای تشخیص دی ان ای هدف گزارش شده اند از جمله، روش الکتروشیمیایی، میکروبالانس بلور کوارتز، رادیویی و شیمیایی. در این میان، سنسور های دی ان ای به دلیل حساسیت بالا، ابعاد کم و هزینه کم، توجه زیادی را به خود جلب کرده اند. تا به امروز، روش های زیادی در تشخیص الکتروشیمیایی هیبریداسیون دی ان ای (3-6) گزارش شده است. این سنسور ها با استفاده

از شاخص های الکترواکتیو (11-7)، از طریق تشخیص آنژیمی (12)، تگ های ردوکس با پیوند کوالان به الیگومر های دی ان ای تک رشته ای (13-17)، نانوذرات (18-20) و سیگنال های تقویت شده مهره های الکترو اکتیو (21) تشکیل شده اند. فناوری تشخیص این ستسور ها به طور کلی DPV (22)، EIS (23 و 24)، ولتا متري آندی (25، 26)، و کرنوکلومتری (CC) است(27). اخیرا، ارزیابی های زیادی در مورد این رشته گزارش شده است (28-34).

همان طور که می دانیم، ثبیت پروب های دی ان ای بر روی سطوح الکترود، یگی از مراحل کلیدی در توسعه دی ان ای است. اثبات شده است که عملکرد سنسور دی ان ای (حساسیت، انتخاب گرایی و پایداری) وابسته به خصوصیات پروب های دی ان ای ثبیت شده است. چندین روش برای ثبیت پروب های دی ان ای بر روی سطح الکترود گزارش شده است از جمله جذب فیزیکی، کراس لینک، و پلی مریزاسیون الکتروشیمیایی. چون پلیمریزاسیون الکتروشیمیایی می تواند ضخامت، تراوایی و خصوصیات انتقال بار با تعديل پارامتر های الکتروشیمیایی کنترل کند. از این روی، پلیمریزاسیون الکتروشیمیایی یکی از رویکردهای ثبیت پروب های دی ان ای نظیر پلی پیروول(24) بوده و پلیمر ها، برای بیوسنسور های با زمان پاسخ سریع، حساسیت بالا و چند کاره بودن ماتریکس بسیار مناسبی هستند(35 و 36).

نانولوله های کربنی نانومواد نوینی هستند که یک بستر و پشتیبان ایده ال برای تولید حسگر های الکتروشیمیایی است. حسگر های مبنی بر نانولوله های کربنی حساسیت و انتخاب پذیری خوبی را نشان داده اند. اخیرا، مواد کامپوزیت بر اساس ترکیب نانولوله های کربنی و پلیمر ها، توجه زیادی را به خود جلب کرده اند زیرا آن ها دارای خصوصیات هر جز با یک اثر هم افزایی است. جیائو و همکاران، چندین بیوسنسور دی ان ای الکتروشیمیایی مبتنی بر الکترود اصلاح شده با فیلم کامپوزیت نانولوله کربنی -پلیمر، از جمله، PDPA/poly (37) Poly(l-lysine)/SWCNT (38) (2,6-pyridinedicarboxylic acid)-MWCNTs کردند. قبله، ما بیوسنسور دی ان ای مبتنی بر الکترود اصلاح شده با فیلم Agnano/PPAA/CNT تولید کردیم(39). این بیوسنسور های دی ان ای، انتخاب و حساسیت خوبی را نشان می دهند.

پی-آمینوبنزوییک اسید حاوی اتم N غنی از الکترون و تراکم الکترون بالای گروه کربونیل می باشد و به آسانی بر روی الکترود کربن شیشه ای توسط CV پلیمریزه می شود. جین و همکاران، از الکترود اصلاح شده- (p-ABA) برای بررسی مدل جانوری پارکینسون آزمایشی استفاده کردند. این الکترود اصلاح شده با فیلم پلیمری برای تشخیص دوپامین در حضور اسید اسکوربیک استفاده شده است(41)/

در مطالعه‌ی گذشته ما یک بیوسنسور DNA حساس مبتنی بر الکترود اصلاح شده با فیلم کامپوزیت PABA/MWCNT تولید کردیم. در ابتدا ابسیسیک اسید بر روی سطح GCE اصلاح شده با MWCNT در مطالعه‌ی گذشته ما یک بیوسنسور DNA حساس مبتنی بر الکترود اصلاح شده با CV الکترو پلیزه شد. AuNPs. AuNPs ها بر روی سطح پلیمر MWCNT توسط فرایند رسوب دهی الکترو شیمیایی قرار داده شدند. سوما DNA پروب بر روی سطح Au-S پیوند DVP تثبیت شد. برای تشخیص رویداد‌های هیبریداسیون با استفاده از ادرياماسین به عنوان یک ساخته الکترو اکتیو استفاده شد. نتایج آزمایش افزایش پیک ادرياماسین را به صورت خطی با لگاریتم غلظت الکترونونوكلئوتید های مکمل از  $1.0 \times 10^{-12}$  تا  $5.0 \times 10^{-9}$  با حد تشخیص  $3.5 \times 10^{-13} M$  نشان داد. روش پروب تثبیت DNA و هیبریدیزاسیون با الگیو نوکلئوتید هدف در طرح های 1 و 2 نشان داده شده است.

## 2. ازمایش

### 2.1 معرف ها

ادريوماسین هیدروکلرید از موسسه‌ی ملی کنترل محصولات دارویی و بیولوژیکی به دست امد اسید- p-Aminobenzoic از شرکت تولید معرف های شیمیایی گویاپو خریداری شد و سولفات دودسیل سدیم از شرکت الفا اسار چین خریداری شد. الیگو نوکلئوتید های شامل موارد زیر بودند:

الیگونوکلئوتید های پروب: SH-(CH<sub>2</sub>)<sub>6</sub>-5'-AAG CGG AGG ATT GAC GAC TA-3'

الیگونوکلئوتید های مکمل: 5'-TAG TCG TCA ATC CTC CGC TT-3'

الیگونوکلئوتید های غیر مکمل: 5'-AAG CGG AGG ATT GAC GAC TA-3'

الیگونوکلئوتید های غیر منطبق 3 بازی: 5'-TAG ACG TCA TTC CTC CCC TT-3'.

## 2.2 ابزار و روش ها

ازمایش های DVP و CV در یک ایستگاه الکترو شیمیایی CHI 660A صورت گرفت. پیکر بندی 3 الکترودی سنتی از طریق ازمایش صورت گرفت طوری که در بر گیرنده‌ی یک الکترود کاری، الکترود کمکی سیم پلاتینیوم و الکترود کالولمل اشباع بود. همه‌ی اندازه‌گیری در 10 میلی لیتر سلول الکترو لیت با 5 میلی لیتر محلول انجام شد که از اکسیژن با نیتروژن خلوص بالا به مدت 20 دقیقه تخلیص شد. همه‌ی اندازه‌گیری‌ها در دمای اتاق MWCNTs، SEC دارند. ریخت شناسی آنجام شدند. مه‌ی پتانسیل‌های موجود در مقاله اشاره به AuNPs/PABA/MWCNT، PABA/MWCNT اندازه‌گیری‌های EIS در حضور ترکیب  $K_3[Fe(CN)_6]/K_4[Fe(CN)_6]$  (1:1) به صورت پربوپ ردوکس در فرکانس بین 1 تا 10 هرتز در پتانسیل  $+0.15\text{ V}$  انجام شدند. دامنه‌ی ولتاژ 5 میلی ولت بود.

## 2.3 تهیه‌ی الکترود اصلاح شده با ssDNA/Au<sub>nano</sub>/PABA/MWCNTs

قبل از اصلاح GCE خالی (با قطر 3 میلی متر) با سوسپانسیون الومنیوم گاما صیقل دهی شد سپس با اب مقطور دو بار اب کشی شده و در اتانول و اب به مدت 3 دقیقه باقی ماند. در نهایت الکترود به طور الکترو شیمیایی از  $\text{ssDNA}/\text{Au}_{\text{nano}}/\text{PABA}/\text{MWCNTs}$  به مدت 10 بار برای هر 3 ناخالصی‌ها پاک سازی شد.

در 10 میلی لیتر اتانول اندروز با کمک محلول اولتراسونیک منتشر شد. سپس یک نمونه‌ی 10 میکرولیتری از پوسپانسیون بر روی سطح GCE قرار گرفت و سپس در دمای اتاق برای تشکیل فیلم MWCNT خشک شد. سپس در اب به مدت 5 دقیقه برای خارج کردن MWCNT جذب شده غوطه ور شد. الکترو پلیمریزاسیون ابیلیک اسید توسط اسکن پتانسیل سایکلیک از  $-1.5\text{ V}$  تا  $-2.5\text{ V}$  به مدت 10 بار با نرخ اسکن  $100\text{ mV s}^{-1}$  در pH 7.0 PBS قرار داده شد. الکترو حاصله به صورت PABA/MWCNTs/GCE نامیده شد.

رسوب الکترو شیمیایی طلا در  $3.0 \times 10^{-3} \text{ M}$  محلول  $\text{HAuCl}_4/0.1 \text{ M NaNO}_3$  و زمان رسوب دهی الکتروشیمیایی 25 ثانیه در  $200 \text{ mV}$ - انجام شد(42).الکترود حاصله به صورت  $\text{Au}_{\text{nano}}/\text{PABA/MWCNTs/GCE}$  نام گذاری شد.

ثبت پروب DNA به صورت زیر بود: پروب DNA  $4 \mu\text{l}$  of  $1.0 \times 10^{-5} \text{ M}$  قرار داده شد و سپس در دمای 4 درجه خشک شد. بعد از آن الکترود اصلاح شده با پروب در محلول 0.1% SDS به مدت 10 دقیقه برای خارج کردن DNA پروب ثبیت شده اضافه شد.الکترود اصلاح شده با پروب به صورت ssDNA/ $\text{Au}_{\text{nano}}/\text{PABA/MWCNTs/GCE}$  معرفی شد.

#### 2.4 تشخیص الکترو شیمیایی هیبریدیزاسیون DNA

واکش هیبریدازیسیون با غوطه ور کردن الکترون اصلاح شده با پروب در محلول 0.1 PBS مول حاوی غلظت های مختلف DNA هدف به مدت 40 دقیقه در 37 درجه انجام شد.الکترود هیبرید شده در 0.1 درصد pbs به مدت 10 دقیقه برای حذف ssDNA غیر هیبرید شده غوطه ور شد.سپس در محلول 0.1 مول Sds ادriاماسین  $1.0 \times 10^{-6} \text{ M}$  به مدت 35 دقیقه در دمای اتاق قرار داده شد و سپس با اب PBS 7 به مدت 3 بار برای حذف ادriاماسین جذب شده ی فیزیکی غوطه ور شد.

هیبریدیزاسیون DNA با جریان پیک DPV ادriاماسین در pH 7.0 PBS انجام شد.غلظت DNA هدف با جریان پیک ادriاماسین کمی شد که از جریان پیک تولید شده در الکترود اصلاح شده با ssDNA/ $\text{Au}_{\text{nano}}/\text{PABA/MWCNT}$  تفریق شد.پارامتر های DVP به صورت زیر بودند:باشه ای پتانسیل از 0.3 تا 0.9 V دامنه ای  $100 \text{ mV}$  و عرض پالس:  $50 \text{ ms}$ : عرض نمونه برداری  $0.0167 \text{ V}$  دوره ای پالس و زمان استراحت S2.

#### 3.نتایج و بحث

##### 3.1 الکتروپلیمریزاسیون p-ABA در MWCNTs/GCE

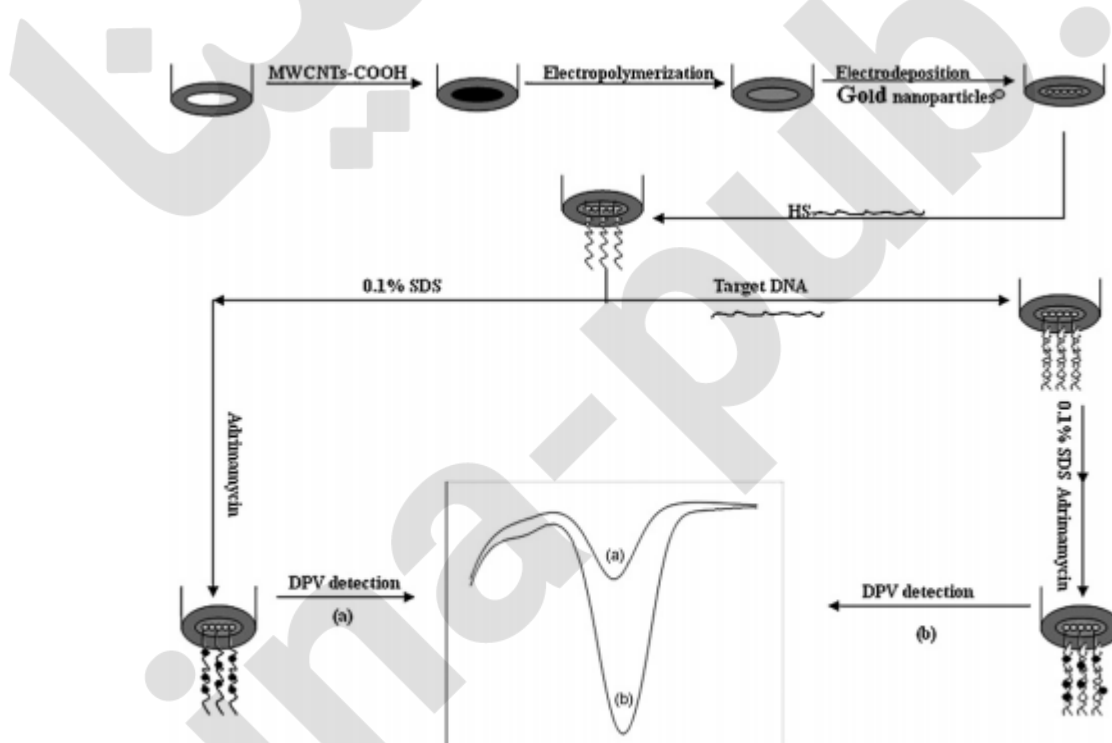
شکل ۱ ولتاومگرام تکراری  $p\text{-ABA}$  در الکترود اصلاح شده می نشان می دهد. در اولین اسکن پیک اندی و پیک کاتدی با مقدار پتانسیل در  $+0.24\text{ V}$  نشان داده می شود. از دومین چرخه به بعد پیک اندی با پتانسیل  $+1.47$  and  $-0.80\text{ V}$  دیده می شود. پیک های بزرگ تر در  $1.47$  or  $-0.80\text{ V}$  با اسکن پیوسته نشان داده می شود که نشان دهنده می رشد پیوسته فیلم است. این حقایق بیانگر این هستند که  $p\text{-PABA}$  بر روی سطح  $\text{MWCNT}$  با روش الکتروپلیمریزاسیون رسوب شده اند. فیلم پلیمری جاذب غیر یکنواخت بر روی GCE قرار گرفت. بعد از اصلاح الکترو فیلم پلی ( $p\text{-PABA}$ ) با اب مقطر دو بار اب کشی شد و سپس در معرض هوا قرار گرفت. رفتار الکترو شیمیایی ( $p\text{-PABA}$ ) در  $\text{MWCNT}$  مشابه با مطالعات گذشته بود(40،41). مکانیسم واکنش را می توان به صورت زیر توصیف کرد. (Eq. (1)–(3)):  $p\text{-PABA}(\text{A})$

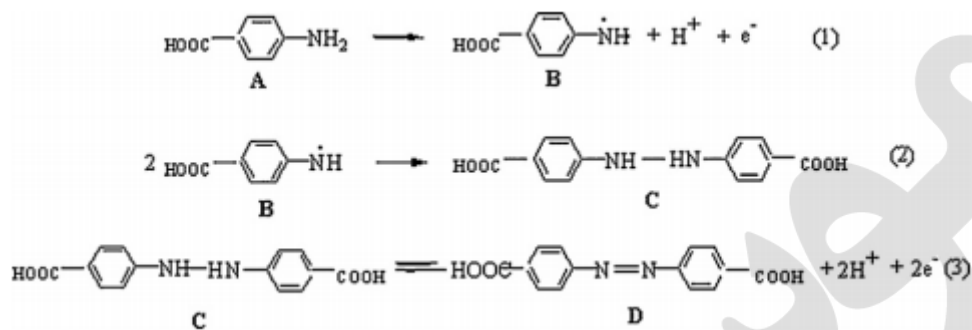
(Eq. (1))  $\text{A} + \text{HS} \rightarrow \text{A}^{\cdot} + \text{S}^{\cdot}$

(Eq. (2))  $\text{A}^{\cdot} + \text{O}_2 \rightarrow \text{A}^{\cdot\cdot} + \text{O}_2^{\cdot^-}$

(Eq. (3))  $\text{A}^{\cdot\cdot} + \text{S}^{\cdot} \rightarrow \text{A}^{\cdot} + \text{S}^{\cdot\cdot}$

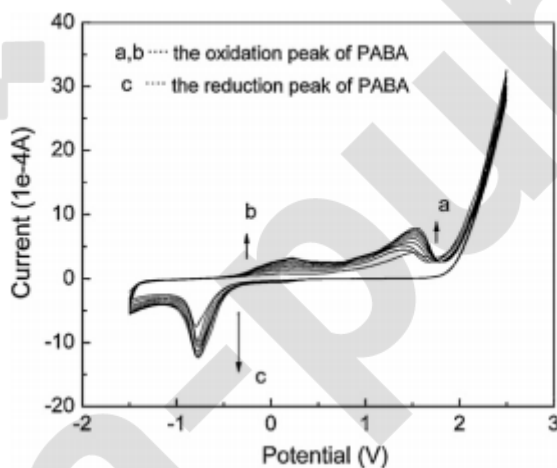
به رادیکال ازاد اکسید شد سپس رادیکال ازاد به اسید هیدروبنزیک تبدیل شد و سپس اسید هیدروبنزیک به اسید ازوبنزیک و اسید ازوبنزیک به هیدروبنزیک اسید تبدیل شد.





## طرح 2

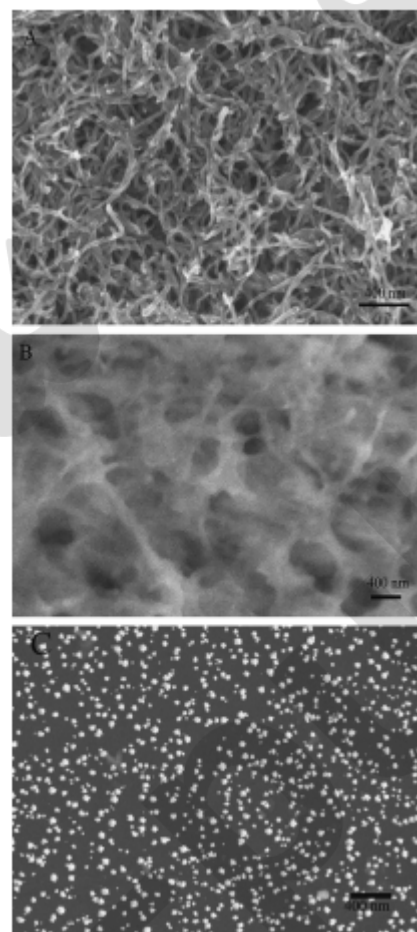
تصاویر SEM در شکل 2 نشان داده شد. از شکل A2 می توان مشاهده کرد که MWCNTs به شکل یکنواختی بر روی GCE قرار گرفتند. بعد از این ابسیزیک اسید بر روی سطح MWCNTs/GCE الکترو پلیمریزه شد مقدار MWCNTs کاهش یافته و تصاویر PABA/MWCNTs به صورت ابرناک شدند زیرا با فیلم نازک PABA پوشیده شد. بعد از این AuNPs به سطح PABA/MWCNTs وارد شد AuNPs ها را می توان از شکل 2C مشاهده کرد.



شکل 1

شکل 3 نمودار پاسخ الکترود را در مراحل مختلف در فرایند مونتاژ نشان می دهد اختلاف معنی دارد در طیف های امپدانس طی اصلاح گام به گام الکترون دیده می شود. به خصوص زمانی که MWCNTs بر روی چیزی مونتاژ شد مقاومت انتقال الکترون به شدت در مقایسه با GCE کاهش پیدا کرد. این را می توان به عملکرد MWCNTs در انتقال الکترون بین الکترود و الکتروولیت نسبت داد. وقتی که ابسیزیک اسید بر روی سطح

Ret افزایی شپیدا می کند. بعد از وارد شدن AuNPs به سطح الکترود MWCNTs/GCE کاهش می یابد. وقتی که پروب DNA بر روی سطح الکترو نصب می شود Ret افزایش می یابد. دلیل این است که DNA به طور منفی باردار شده و دفع الکترو استاتیک به طور منفی باردار می شود بنابراین می توان تایید کرد که گونه های مختلف بر روی سطح الکترود اصلاح شده از تغییر مقاومت انتقال الکترون تحت تاثیر قرار می گیرد

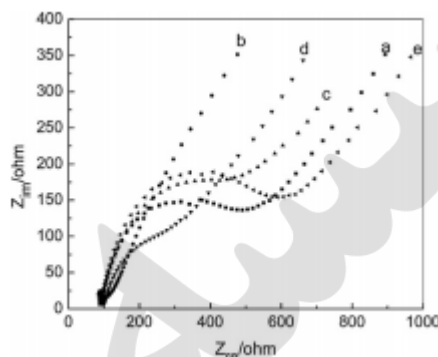


شکل 2

### 3.3 خصوصیات الکترو شیمیایی ادرياماسین در الکترود های شیمیایی مختلف

شکل 4A ، 4B را در الکترود های اصلاح شده نشان می دهد. شکل 4B سیستوگرام های متناظر جریان پیک کاهشی را نشان می دهد. از شکل 4A می توان گفت که جریان پیک ادرياماسین در GSE لخت یا Aunano/PABA بیشتر افزایش می یابد. از همه مهم تر این که وقتی

وجود دارد جریان پیک ادرياماسین به شدت بهبود داده می شود.علاوه وقتی پروب DNA بر روی سطح Aunano/PABA/MWCNT/GCE تثبیت می شود جریان پیک ادرياماسین افزایش می یابد. دلیل این است که فسفات بار منفی DNA می تواند ادرياماسین بار مثبت را جذب کند.



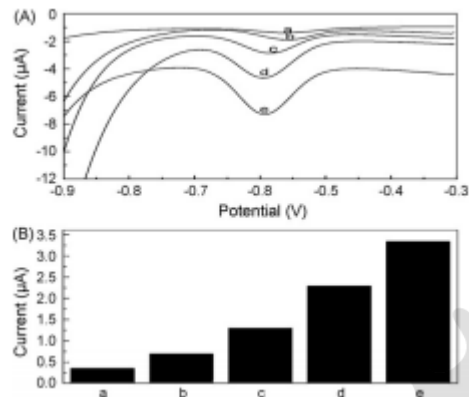
شكل 3

#### 3.4 بهینه سازی شرایط سنجش DNA

به منظور دستیابی به سطوح الکترود کارامد تر و ایجاد یک محیط بهتر برای تثبیت DNA و هیبریداسیون زمان رسوب دهی الکتروشیمیایی طلا با DVP بهینه سازی می شود. شکل 5A تاثیر زمان رسوب را بر روی جریان ادرياماسین نشان می دهد. می توان گفت که جریان پیک با افزایش زمان رسوب دهی افزایش می یابد.

شکل 5B رابطه ی بین جریان ادرياماسیون و زمان انباشت را نشان می دهد. جریان پیک با افزایش زمان انباشت از 15 تا 35 دقیقه افزایش می یابد و در دامنه ی 35 تا 40 ثابت بوده و سپس بعد از 40 دقیقه کاهش می یابد.

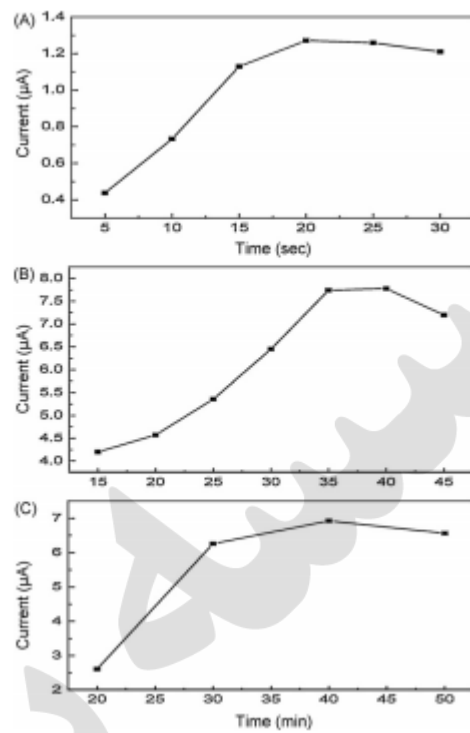
شکل 5C اثر زمان هیبریداسیون را بر روی جریان پیک ادرياماسین نشان می دهد از شکل 5C می توان گفت که جریان پیک با افزایش زمان هیبریداسیون از 20 تا 30 دقیقه افزایش از 30 تا 40 دقیقه افزایش کم و بعد از 40 دقیقه کاهش می یابد. این نتایج نشان می دهد که واکنش هیبریداسیون بعد از 40 دقیقه کامل می شود. با توجه به حساسیت و زمان ارزیابی 40 دقیقه به عنوان بهینه انتخاب شد.



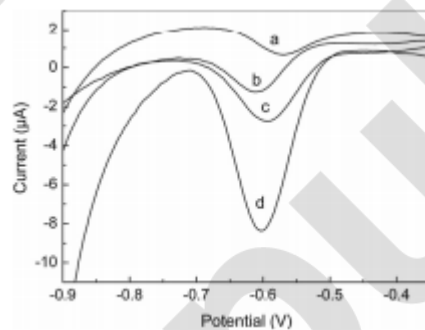
شکل 4

### 3.5 انتخاب پذیری بیوسنسور DNA

در یک بیوسنسور DNA انتخاب پذیری نقش بسیار مهمی دارد در این کار این انتخاب پذیری با توالی های Dna غیر مکمل و 3 بازی اندازه گیری شد. شکل 6 ادرياماسين  $1.0 \times 10^{-6} \text{ M}$  DPVs of ادرياماسين را برای پروب Dna هیبرید شده با توالی مکمل، توالی 3 بازه و توالی مکمل نشان می دهد جریان های پیک ادرياماسين به ترتیب  $2.247, 2.863, 4.375, \text{ and } 8.631 \times 10^{-6} \text{ A}$  است. جریان های پیک برای غیر مکمل 3 بازی تنها 9.65% and 33.33% جریان مکمل هستند. و IDS جریان پیک ادرياماسين برای توالی غیر مکمل و مکمل ISS پیک ادرياماسين برای پروب DNA، IC، DNA ادرياماسين برای توالی مکمل است. این نتایج نشان می دهند که بیوسنسور DNA تولید شده می تواند برای سنجش اهداف توالی مختلف DNA استفاده شده است.



شکل 5



شکل 6

### 3.6 عملکرد تحلیلی

تحت شرایط بهینه عملکرد تحلیلی بیوسنسور DNA با استفاده از DNA پروب ثبیت شده برای هیبریداسیون با غلظت های مختلف توالی مکمل بررسی شد. شکل 7 اطلاعات DPV ادرياماسین را در الیگونوکلئوتید های مکمل مختلف نشان می دهد. از شکل 7 می توان مشاهده کرد که جریان پیک با افزایش غلظت الیگونوکلئوتید افزایش می یابد و به طور خطی با افزایش غلظت الیگونوکلئوتید های مکمل از  $5.0 \times 10^{-9}$  to  $1.0 \times 10^{-12} M$

افزایش می یابد. معادله ی رگرسیون  $(\mu\text{A}) = 1.292 \log C_{\text{DNA}} + 16.50$  (unit of C is M) است و ضریب رگرسیون منحنی خطی به صورت  $0.9979$ . است. استانه ی تشخیص  $3.5 \times 10^{-13} \text{ M}$  ( $S/N = 3$ ) است.

دامنهای خطی و حد تشخیص سنسور های DNA الکترو شیمیایی در جدول 1 نشان داده شده اند. از جدول 1 خط تشخیص پایین و دامنه یخطی گستردگی با استفاده از بیوسنسور پیشنهادی به دست امد سنسور DNA پیشنهادی عملکرد تحلیلی خوبی را برای توالی های خاص DNA دارد.

Comparison of analytical performances of several electrochemical DNA sensors.

The DNA sensor	Detect technique	Linear detection range (nM)	Limit (nM)	Hybridization time (min)	Reference
DNA/Au <sub>10nm</sub> /PPAA/MWCNTs-COOH/GCE	DPV	0.009–9.0	$3.2 \times 10^{-3}$	60	[39]
DNA/PICA/GCE	CV	3.34–10.6	0.094	45	[43]
DNA/Au <sub>10nm</sub> /Cys/PGA	DPV	0.09–4.8	0.042	20	[44]
PolyPyrirole/ssDNA/MCNPs paste electrode	DPV	0.1–1.0	$8.5 \times 10^{-3}$	30	[45]
DNA/Au <sub>10nm</sub> /PLL/GCE	CC	$25 \times 10^{-4}$	$3.2 \times 10^{-3}$	40	This work

جدول 1

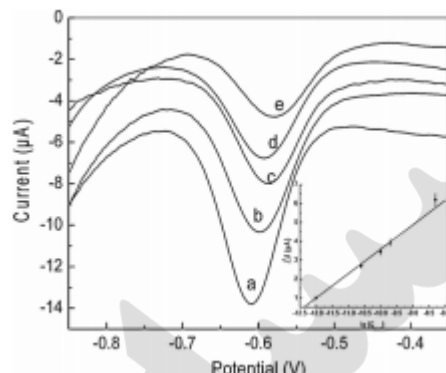
### 3.7 پایداری قابلیت استفاده ی مجدد و تکرار پذیری بیوسنسور DNA

قابلیت صحت و پایداری این سنسور DNA مطالعه شد در صورتی که ما ان را در یخچال در دمای 4 درجه بررسی کرده و بعد از 3 روز تست کنیم هیچ گونه تغییری در جریان پیک ادرایاما سیون مشاهده نمی شود. نتایج نشان می دهد که سنسور DNA پایداری خوبی دارد.

قابلیت استفاده ی مجدد از بیوسنسور DNA نیز با غوطه ور کردن هیبرید در اب داغ به مدت 5 تا 8 دقیقه برای خارج کردن DNA هیبرید از طریق دنوراتیسیون حرارتی بررسی شد. سنسور جدید برای تست پاسخ DNA هدف  $1.0 \times 10^{-7}$  استفاده شد و این سنسور زمان پاسخ 93 درصد را نشان داد. این نتیجه نشان می دهد که بیوسنسور DNA پیشنهادی قابلیت استفاده ی مجدد خوبی را دارد.

تکرار پذیری و صحت سنسور DNA نیز به صورت زیر بررسی شد: 3 سنسور DNA به طور مستقل تحت شرایط یکسان ساخته شده و برای تشخیص الیگونوکلئوتید های مکمل  $1.0 \times 10^{-7} \text{ M}$  استفاده شدند. جریان پیک

ادریاماسیون به ترتیب  $9.007 \times 10^{-6}$  A،  $8.635$  و  $8.256 \times 10^{-6}$  A بود. میانگین انحراف معیار نسبی 4.35% بود.



شکل 7

#### نتیجه گیری 4

به طور کلی مطالعه‌ی حاضر یک راهبرد را برای تشخیص هیبریداسیون DNA با استفاده از الکترود اصلاح شده MWCNTs-COOH/AuNPs/PABA معرفی کرد. نتایج ازمایشی نشان می‌هد که سنسور DNA سرعت بالا تولید اسان داشته و می‌تواند توالی 3، DNA را تشخیص دهد.